



Pasto, 30 de junio de 2026, 10:00 a.m.

## Actividad volcánica del segmento sur de Colombia

Del seguimiento de la actividad volcánica durante el mes de mayo de 2026, el **Servicio Geológico Colombiano (SGC)**, entidad adscrita al **Ministerio de Minas y Energía**, presenta el siguiente informe de la actividad de las estructuras volcánicas que conforman este segmento del país:

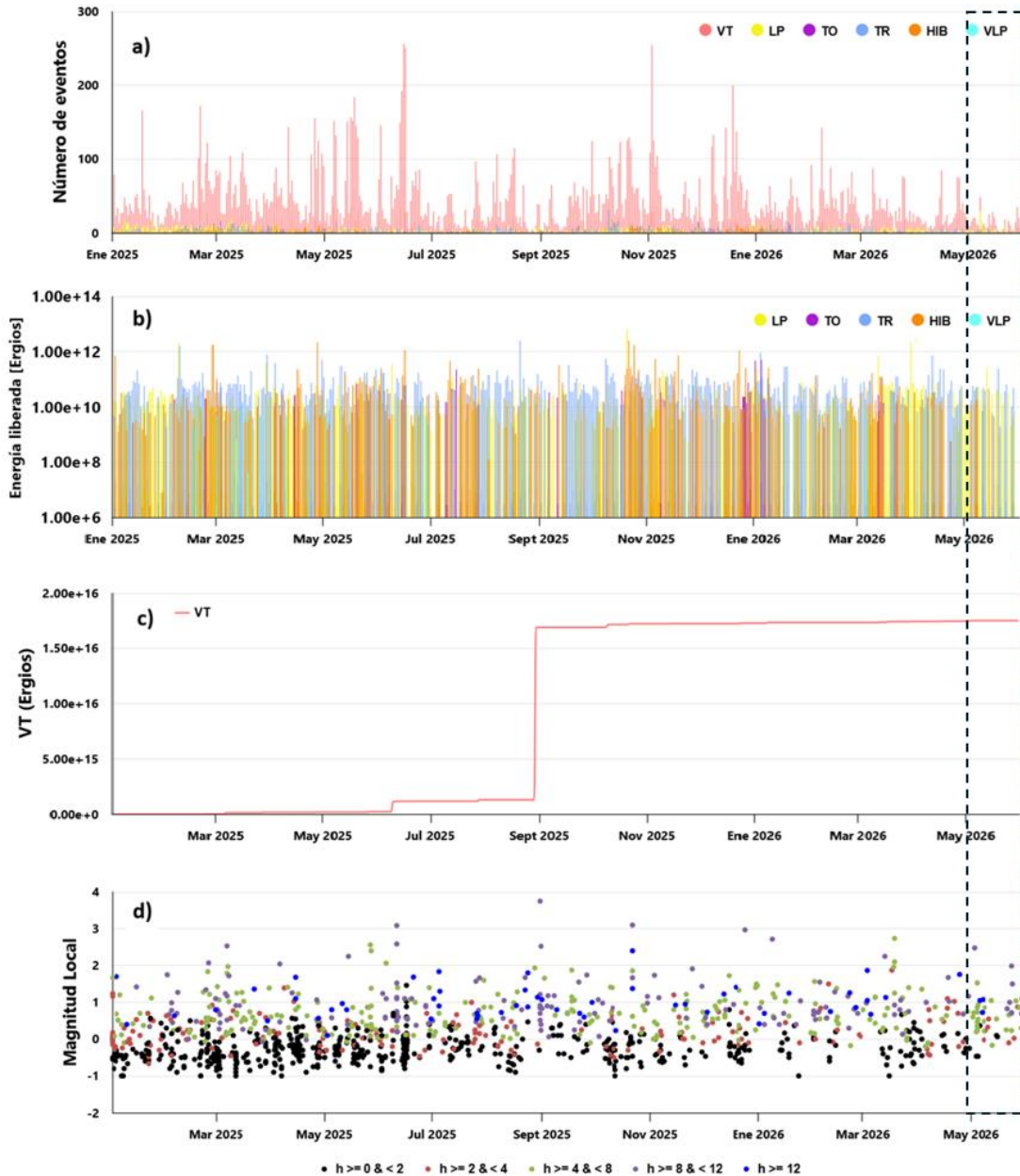
### Complejo volcánico de Galeras (CVG)



Para el mes de mayo de 2026 y, respecto al periodo anterior, el Complejo Volcánico Galeras (CVG) mostró un descenso cercano al 31,6% en la ocurrencia sísmica y en contraste se presentó un incremento en la energía liberada (Figura 1, Tabla 1). En total se registraron 603 eventos, predominando la sismicidad asociada a fracturamiento

de roca con 420 eventos volcano tectónicos (VT), equivalentes al 69,7% del total, seguida por la sismicidad relacionada con movimiento transitorio de fluidos con 110 eventos (LP), equivalentes al 18,2%. La sismicidad asociada con movimiento de fluidos de fuente persistente en el tiempo tuvo lugar con 31 eventos, correspondientes al 5,1% del total de eventos sísmicos y 5 eventos clasificados como tipo híbrido (HIB) que combinan fractura de roca y movimiento transitorio de fluidos, representaron el 0,8% del total.

El pico de ocurrencia sísmica se presentó el 8 de mayo con 84 eventos (Figura 1 a). El total de energía sísmica liberada para mayo fue de  $6,0 \times 10^{13}$  ergios (Figura 1b y 1c, Tabla 1), la cual incremento alrededor del 73,7 % respecto a abril de 2026, con el mayor aporte de los eventos VT, que corresponde al 97,5% del total (Tabla 1).



**Figura 1.** Gráfica multiparámetro del volcán Galeras a) histograma diario de ocurrencia sísmica b) energía liberada para sismos, LP, TR, HIB, TO y VLP, c) energía liberada acumulada para sismos VT d) relación entre la magnitud local y la profundidad, en el tiempo, para el periodo entre enero de 2025 y mayo de 2026. El recuadro negro punteado indica el mes evaluado.



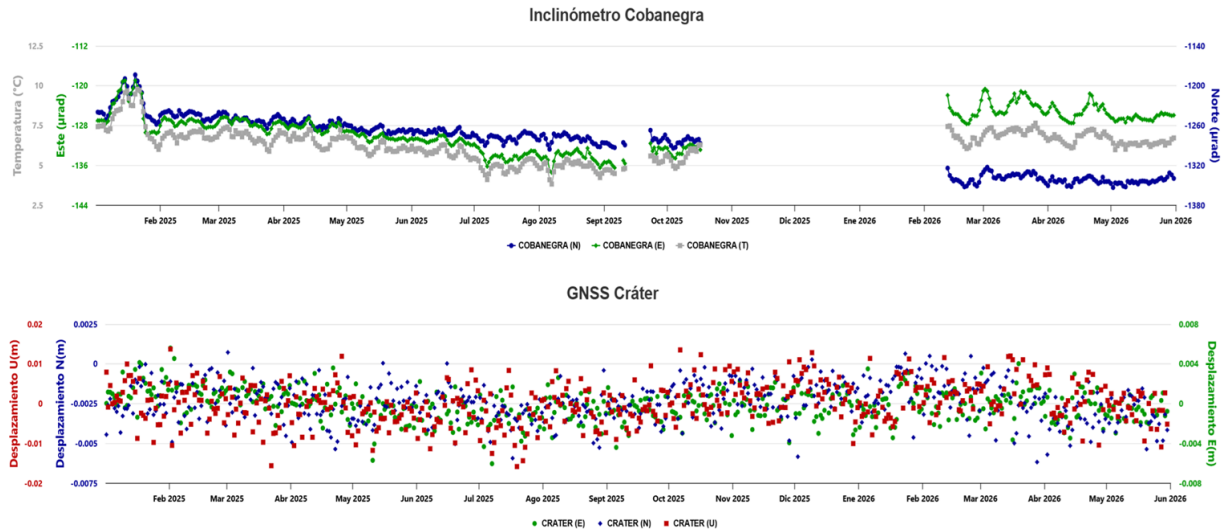
# Boletín mensual

**Tabla 1.** Número de sismos y energía liberada en el CVG en abril y mayo de 2026.

Tipo de evento	Abril 2026		Mayo 2026	
	No. Sismos	Energía Sísmica Liberada	No. Sismos	Energía Sísmica Liberada
VT	733	2,9X10 <sup>13</sup>	420	5,8X10 <sup>13</sup>
LP	80	3,5X10 <sup>12</sup>	110	6,3X10 <sup>11</sup>
TR	56	1,9X10 <sup>12</sup>	31	6,7X10 <sup>11</sup>
HIB	12	1,8X10 <sup>11</sup>	5	9,0X10 <sup>10</sup>
VLP	1	9,7X10 <sup>9</sup>	0	-
VC	0	-	37	8,7X10 <sup>10</sup>
<b>Total</b>	<b>882</b>	<b>3,4X10<sup>13</sup></b>	<b>603</b>	<b>6,0X10<sup>13</sup></b>

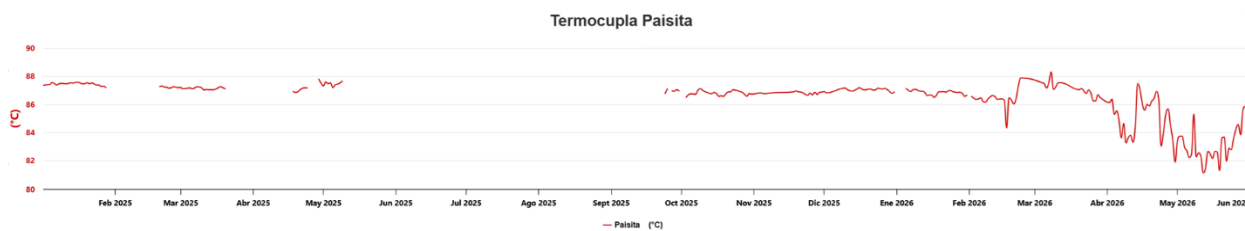
En mayo de 2026 se localizaron 50 eventos (Figura 2), en su mayoría se localizaron de manera dispersa alrededor del edificio volcánico, algunos pocos se ubicaron al nororiente del cráter alcanzando distancias epicentrales de hasta 22 km. En general, las profundidades oscilaron entre 0,5 y 15,3 km respecto a su cima (4200 m s.n.m.) y las magnitudes locales registraron un máximo de 2,5, evento ocurrido el 2 de mayo a las 7:39 p.m. Ninguno de los sismos registrados fue reportado como sentido.





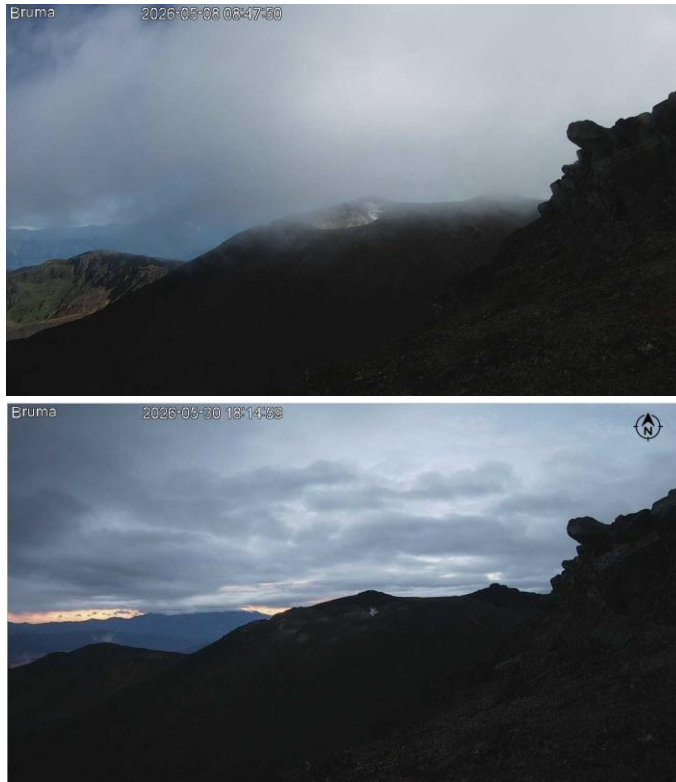
**Figura 3.** Registros temporales del inclinómetro electrónico Cobanegra (superior) y GNSS Cráter para el periodo enero de 2025 a mayo de 2026.

Los registros de temperaturas del suelo calentado por efectos del vapor, en los campos fumarólicos de El Paisita, muestran valores que oscilan entre 88,3 a 81,2 °C, valores que corresponden al dominio del sistema hidrotermal, que en general, se mantienen estables (Figura 4).



**Figura 4.** Temperatura del suelo en la fuente fumarólica de El Paisita en el período entre enero de 2025 y mayo de 2026.

Se continuó observando columnas de emisión de gases de color blanco, con poca presión de salida, baja altura y dispersión variable, dependiendo de la dirección y velocidad del viento. Los principales focos de emisión fueron desde el cráter principal y los campos fumarólicos de su periferia, principalmente Las Chavas al oeste y El Paisita al norte (Figura 5).



**Figura 5.** Fotografías registradas por las cámaras de monitoreo volcánico. Bruma, resaltando emisión de gases desde diferentes centros de emisión del cráter y campos fumarólicos en mayo de 2026, en el CVG.

Con base en los parámetros de monitoreo y evaluación de la actividad volcánica se considera que:

La actividad volcánica se mantuvo en estado de alerta **Amarilla** : **volcán activo con cambios en el comportamiento del nivel base de los parámetros monitoreados y otras manifestaciones.**



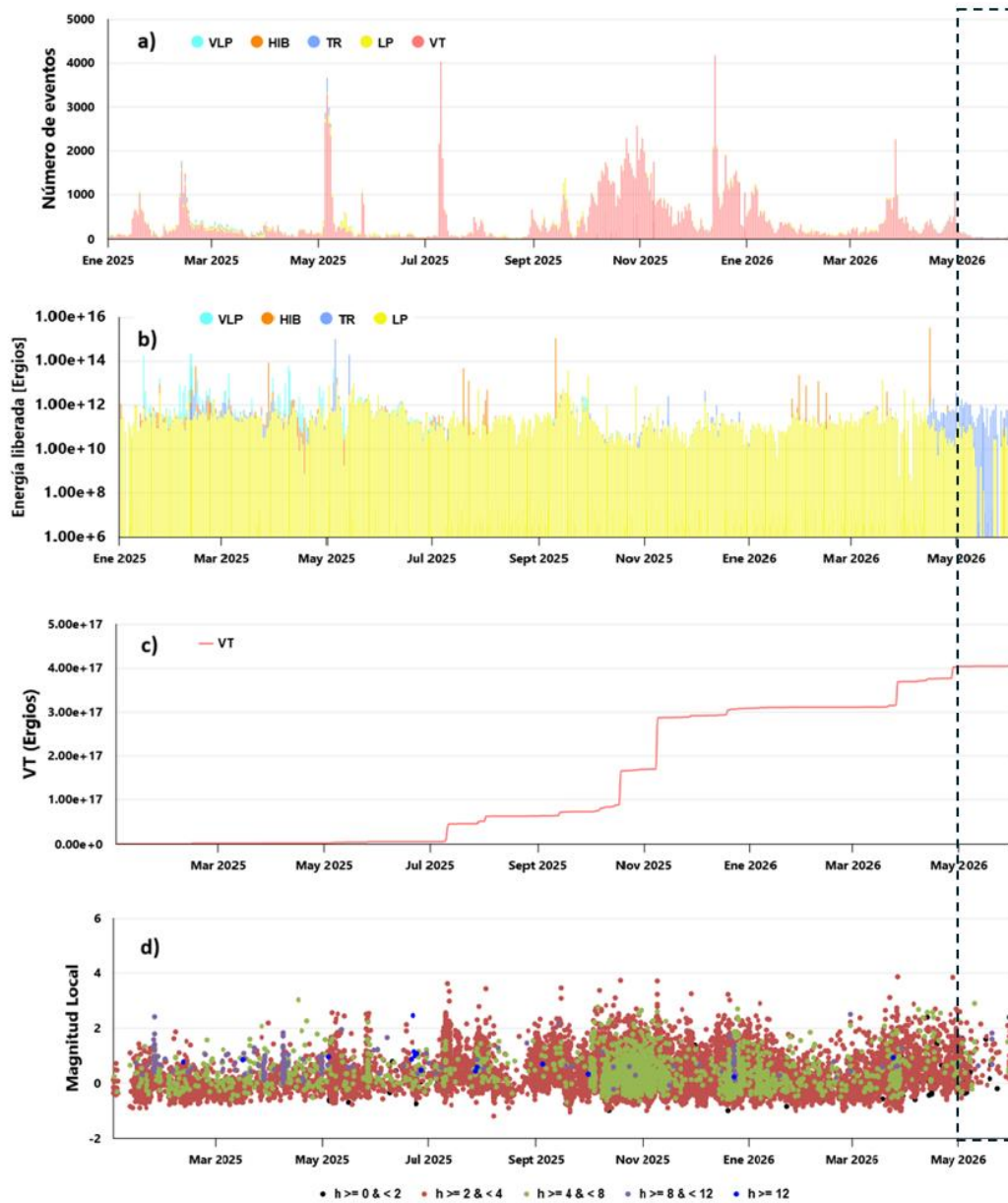
## Complejo Volcánico Chiles - Cerro Negro (CVCCN)



En cuanto al Complejo Volcánico Chiles Cerro Negro, continuó el comportamiento fluctuante de la actividad sísmica que se ha venido registrando en anteriores periodos. Se resalta, para el mes de mayo de 2026, un notable descenso en la ocurrencia sísmica, de igual forma se evidencia disminución en la

energía liberada con respecto al periodo anterior (Figura 6a, 6b y 6c). El descenso es evidenciado, principalmente, en los sismos asociados al fracturamiento de roca al interior del sistema volcánico. En cuanto a la ocurrencia sísmica en mayo, se totalizó 1.969 eventos, disminuyendo cerca del 79,1% con lo reportado para abril. Se registraron 1.546 sismos de fractura (tipo VT), equivalentes al 78,5 % del total, en un rango entre 6 y 338 sismos por día. El 21,4% lo aportó la sismicidad correspondiente a eventos asociados con movimiento de fluidos, tanto de fuente transitoria (LP), como persistente (TRE) y de muy baja frecuencia (VLP), con un total de 422 eventos (Tabla 2). Se registró 1 sismo tipo HIB, el cual contribuye con el 0,1%. El pico de ocurrencia sísmica se presentó el 1 de mayo con 360 eventos, 338 de ellos de tipo VT. La energía sísmica liberada disminuyó en un 96% lo valorado en abril de 2026, con un total de  $1,5 \times 10^{15}$  ergios (Tabla 2) y el mayor aporte provino de los eventos tipo VT.

En mayo se localizaron 173 sismos (Figura 6), concentrados en varias fuentes, los más someros se ubicaron en la denominada zona de colapso del volcán Chiles y se extendió hacia el sur a distancias menores de 2,7 km desde la parte alta de Chiles; otros sismos se localizaron en inmediaciones de los dos volcanes Chiles y Cerro Negro y los más profundos hacia el sector suroriente del volcán Chiles, en general, las profundidades fluctuaron entre 0,7 y 9,5 km, respecto de su cima (aproximadamente 4.700 m s.n.m.) y magnitud máxima de 2,9; este sismo se registró el 10 de mayo a las 7:38 a.m. Ninguno de los sismos registrados fue reportado como sentido.

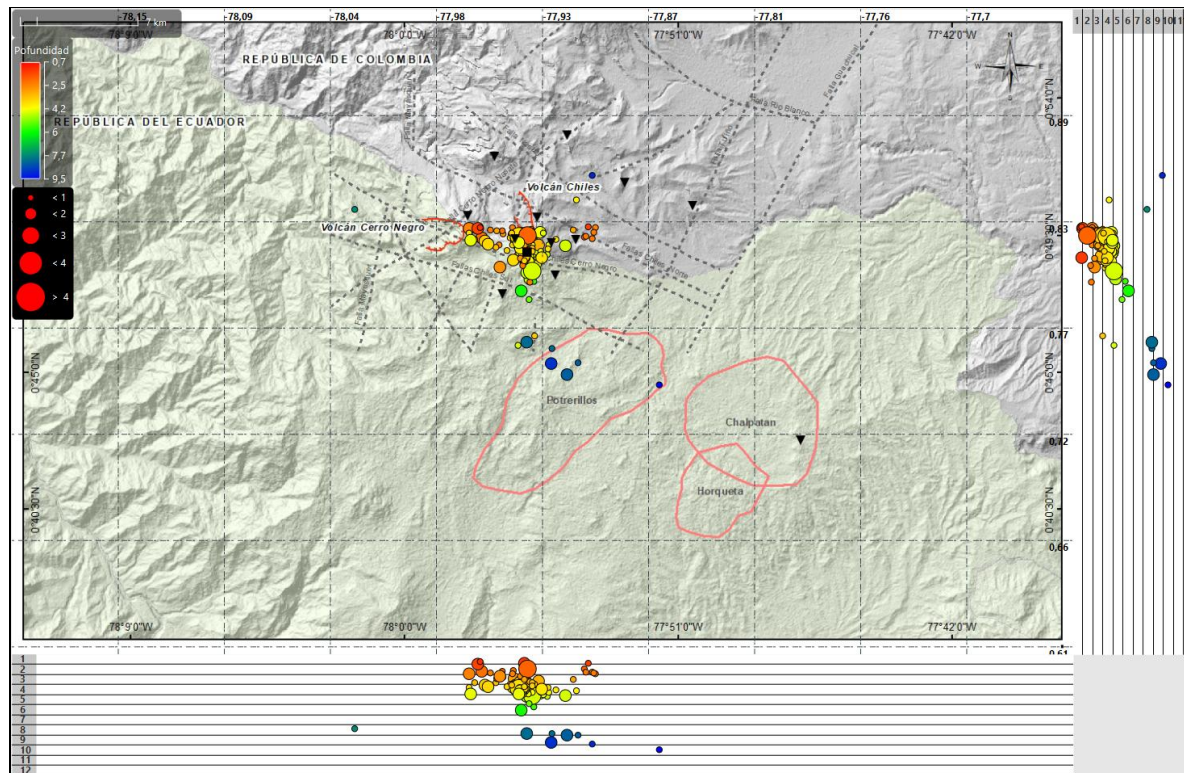


**Figura 6.** Gráfica multiparamétrica del CVCCN, a) histograma diario de ocurrencia sísmica b) energía liberada para sismos, LP, TR, HIB y VLP, c) energía liberada acumulada para sismos VT d) relación entre la magnitud local y la profundidad, en el tiempo, para el periodo entre enero de 2025 y mayo de 2026. El recuadro negro punteado indica el mes evaluado.



**Tabla 2.** Número de eventos sísmicos y energía liberada en el CVCCN, en abril y mayo de 2026.

Tipo de evento	Abril 2026		Mayo 2026	
	No. Sismos	Energía Sísmica Liberada	No. Sismos	Energía Sísmica Liberada
VT	8.725	$3,4 \times 10^{16}$	1.546	$1,2 \times 10^{15}$
LP	391	$1,1 \times 10^{13}$	179	$1,2 \times 10^{12}$
TR	295	$7,8 \times 10^{12}$	233	$2,0 \times 10^{13}$
HIB	5	$3,2 \times 10^{15}$	1	$3,2 \times 10^9$
VLP	11	$4,7 \times 10^{10}$	10	$2,3 \times 10^{11}$
<b>Total</b>	<b>9.427</b>	<b><math>3,8 \times 10^{16}</math></b>	<b>1.969</b>	<b><math>1,5 \times 10^{15}</math></b>

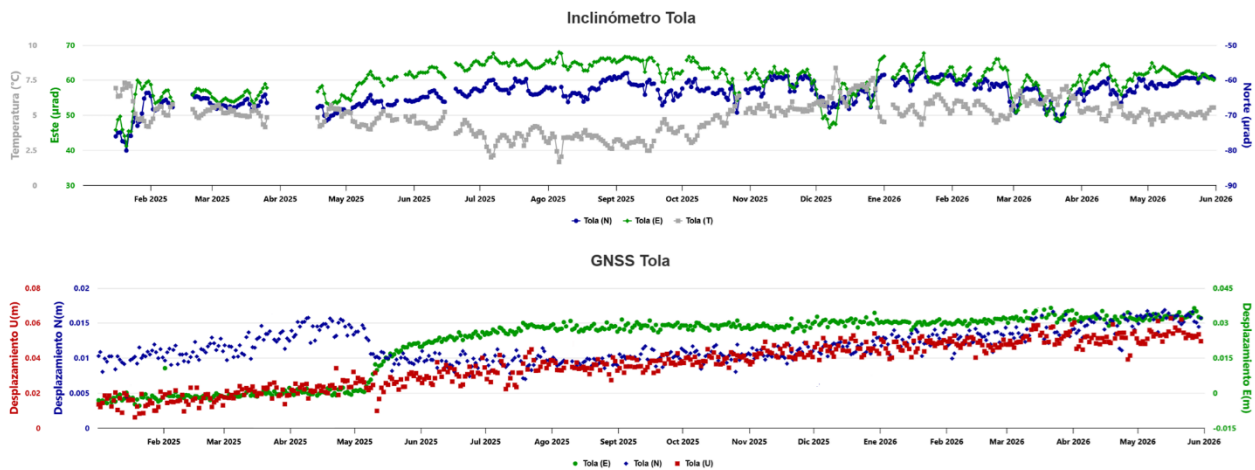


**Figura 7.** Mapa de la zona de influencia del CVCCN, representando en círculos los sismos VT localizados en mayo de 2026 (planta y perfiles norte-sur y este-oeste).



Se reitera que la actividad fluctuante tanto en ocurrencia, energía sísmica liberada y tipo de sismos del CVCCN es un proceso que se viene registrando desde finales del 2013. El incremento en la actividad sísmica más notorio y reciente, se registró entre marzo del 2023 hasta mediados de enero de 2024, y entre septiembre de 2025 hasta mediados de febrero de 2026 se tuvo un nuevo incremento, pero en menor escala comparado con el de 2023-2024, ya que el número máximo de sismos fue de alrededor de 4.150, el 14 de diciembre de 2025; en comparación con los 10.224 sismos del 10 de marzo de 2023.

El análisis de la información proveniente de los diferentes sensores y técnicas usadas para la evaluación de la deformación volcánica, en la zona del CVCCN (inclinómetros electrónicos, GNSS e interferometría), continuaron indicando procesos de deformación que se han evidenciado desde hace algunos años; resaltando que, en la mayoría de los sensores, la componente Norte ha venido mostrando estabilidad durante los últimos meses, mientras que la componente vertical mantiene tendencia ascendente. Como ejemplo se muestra el comportamiento en las tres componentes del GNSS La Tola y componentes del inclinómetro La Tola (Figura 8).




**Figura 8.** Registros temporales del inclinómetro electrónico Tola (superior) y estación GNSS permanente Tola (inferior), en el periodo entre enero de 2025 y mayo de 2026.

Las diferentes manifestaciones de la actividad volcánica como la parte sísmica, de deformación y magnética se han interpretado como resultado de un proceso de intrusión magmática en profundidad que, hasta el momento, no ha tenido manifestaciones relevantes en superficie y ha



# Boletín mensual

presentado variaciones pulsátiles en los niveles de ocurrencia y energía sísmica. Se ha observado migración de fuentes sísmicas desde el sureste y sur del CVCCN hacia el volcán Chiles, lo cual se ha asociado a la compleja interacción de los sistemas magmáticos e hidrotermal y al tectonismo de la región (fallas geológicas activas). Persiste la probabilidad de que se presenten sismos con magnitudes importantes que podrían ser sentidos por los habitantes de la zona de influencia de los volcanes Chiles y Cerro Negro, o que se registren otros tipos de cambios asociados con la evolución de la actividad volcánica. El SGC y el Instituto Geofísico de la Escuela Politécnica Nacional del Ecuador continúan con el monitoreo del CVCCN.

La actividad volcánica se mantuvo en estado de alerta **Amarilla** : **volcán activo con cambios en el comportamiento del nivel base de los parámetros monitoreados y otras manifestaciones.**



## Complejo Volcánico de Cumbal (CVC)



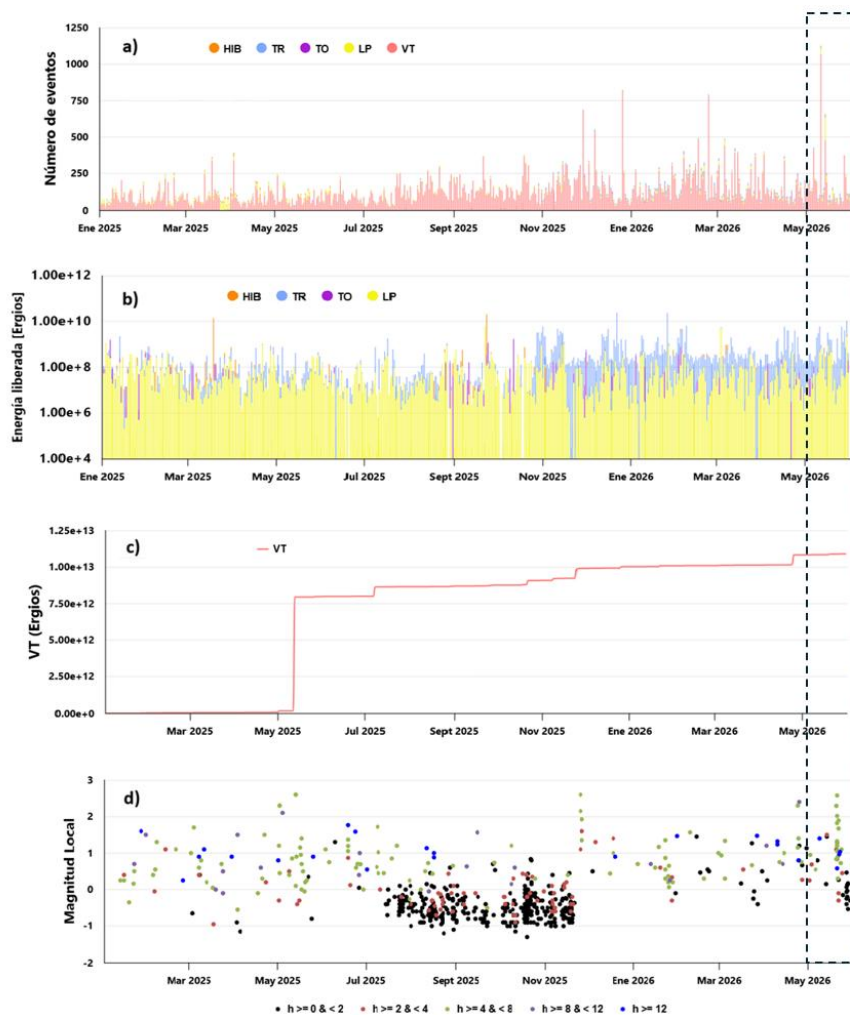
En el complejo volcánico Cumbal, para el periodo de mayo, se presentó un incremento en la ocurrencia sísmica y descenso en la energía liberada en comparación con el periodo pasado. En la Figura 9 se presenta la distribución diaria de los sismos desde enero de 2025 hasta mayo de 2026. Para mayo se tuvo un total de 6057 eventos (Tabla 3), de los cuales el 83,2 % se asociaron con procesos de fractura de roca (VT),

seguidos por el 8,8% de sismos generados por movimiento de fluidos de fuente transitoria; los eventos relacionados con movimiento de fluidos de fuente persistente al interior de los conductos volcánicos con 424 sismos aportaron con el 7,0%, 10 eventos tipo TO aportaron con el 0,2 % y, finalmente, los eventos relacionados con fractura y posterior movimiento de fluidos el 0,7% con 44 eventos (Tabla 3). El pico de ocurrencia sísmica se registró el 11 de mayo con 1.127 eventos, 1.068 de ellos de tipo VT. La energía sísmica liberada fue de  $1,2 \times 10^{11}$  ergios y el mayor aporte provino de los eventos VT con  $6,9 \times 10^{10}$  ergios, equivalente al 59,2% del total, reflejando con respecto al mes anterior, un descenso del 83,8% (Figura 9b y 9c). La magnitud máxima de los sismos tipo VT en mayo fue de 2,6 (Figura 9d).

En mayo de 2026 solo se localizaron 52 sismos VT, debido principalmente a los bajos niveles energéticos de los sismos (Figura 10). Los eventos localizados en su mayoría se ubicaron en dos fuentes, próximos a la cima volcánica, en inmediaciones del cráter La Plazuela, con profundidades menores a 1,8 respecto al cráter la Plazuela (aproximadamente 4700 m s.n.m), la segunda fuente se ubicó hacia el sector occidental del edificio volcánico a 17 km de La Plazuela y profundidades entre 2,9 y 6,3 km. La magnitud local fluctuó entre -0,4 y 2,6. El sismo más energético se presentó el 20 de mayo y se ubicó a 16,3 km al occidente del CVC.



La evaluación del comportamiento de los inclinómetros electrónicos y las estaciones cGNSS utilizados para evaluar la deformación de la corteza en la zona del CVC, en mayo de 2026, continuaron mostrando tendencias estables. Como ejemplo se muestra el comportamiento de las tres componentes del GNSS Mesa y las dos componentes del inclinómetro electrónico Limones (Figura 11).

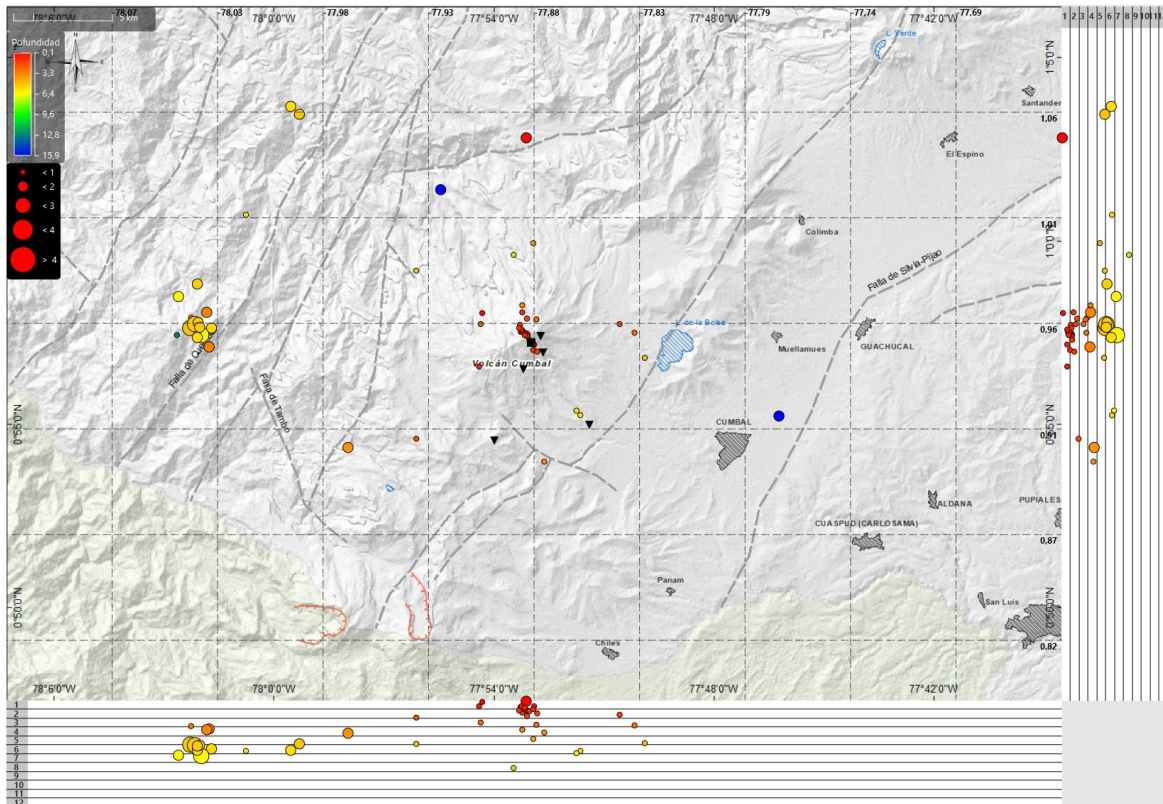


**Figura 9.** Gráfica multiparamétrica del CVC, a) histograma diario de ocurrencia sísmica b) energía liberada para sismos, LP, TR, HIB y TO, c) energía liberada acumulada para sismos VT d) relación entre la magnitud local y la profundidad, en el tiempo, para el periodo entre enero de 2025 y mayo de 2026. El recuadro negro punteado indica el mes evaluado.

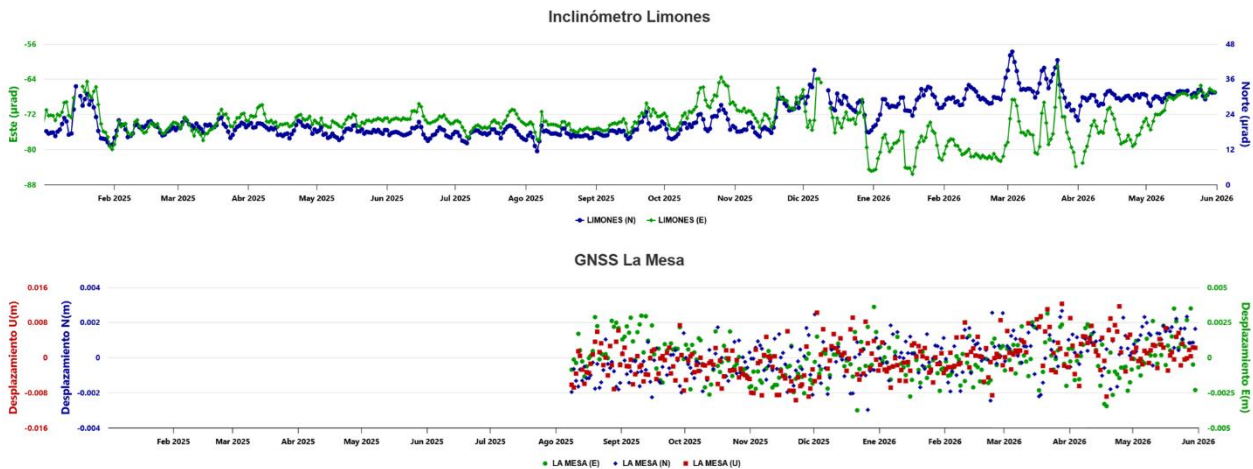


**Tabla 3.** Número de eventos en el CVC para los meses de abril y mayo de 2026.

Tipo de evento	Abril 2026		Mayo 2026	
	No. Sismos	Energía Sísmica Liberada	No. Sismos	Energía Sísmica Liberada
VT	3.614	$6,9 \times 10^{11}$	5.042	$6,9 \times 10^{10}$
LP	235	$1,7 \times 10^9$	534	$5,9 \times 10^9$
TO	7	$2,7 \times 10^8$	10	$3,8 \times 10^8$
TR	405	$2,4 \times 10^{10}$	424	$4,0 \times 10^{10}$
HIB	22	$9,4 \times 10^7$	44	$9,6 \times 10^8$
VC	1	$9,8 \times 10^5$	3	$4,1 \times 10^7$
<b>Total</b>	<b>4.284</b>	<b><math>7,2 \times 10^{11}</math></b>	<b>6.057</b>	<b><math>1,2 \times 10^{11}</math></b>

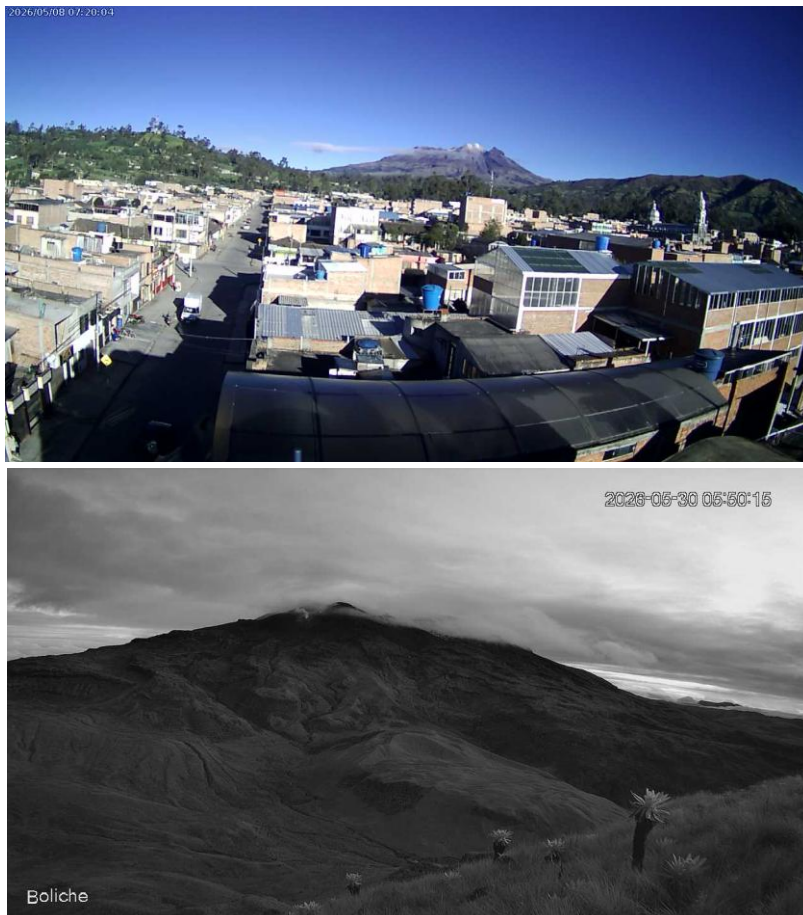


**Figura 10.** Mapa de la zona de influencia del CVC, representando en círculos los eventos VT localizados en mayo de 2026 (planta y perfiles norte-sur y este-oeste).



**Figura 11.** Series temporales del inclinómetro electrónico Limones (superior) y del cGNSS Mesa, en el CVC, entre enero de 2025 y mayo de 2026.

En cuanto a la actividad superficial; en las imágenes registradas por las cámaras instaladas en el municipio de Cumbal y en el sector de Boliche, permitieron observar las columnas de gas de color blanco y dispersión variables, de acuerdo con la velocidad y dirección del viento en la zona. Los centros de emisión de gases en los que se observó actividad fumarólica fueron: El Verde ubicado al noreste del CVC y los campos fumarólicos Los Rastrojos y Boca Vieja, ubicados al suroeste del CVC (Figura 12). Los demás parámetros geofísicos y geoquímicos del monitoreo volcánico no mostraron variaciones significativas.



**Figura 12.** Emisiones de gas, desde los diferentes centros fumarólicos del volcán Cumbal: (superior) registro desde la cámara en el municipio de Cumbal, del 8 de mayo de 2026, e (inferior) imagen desde la cámara en el sector de Boliche, del 30 de mayo de 2026.

El CVC registró una actividad caracterizada por fluctuaciones en la ocurrencia, energía y tipo de sismicidad, en general, los eventos sísmicos registrados fueron de baja energía, asociados con procesos hidrotermales, los cuales se han mantenido de manera similar desde el inicio del monitoreo instrumental permanente en el año 2009.

La actividad volcánica se mantuvo en estado de alerta **Amarilla** : **volcán activo con cambios en el comportamiento del nivel base de los parámetros monitoreados y otras manifestaciones.**



## Volcán Azufral



Dentro de niveles bajos de ocurrencia y energía, en mayo de 2026 la sismicidad en el volcán Azufral disminuyó cerca de 67,6% respecto a lo registrado en abril de 2026, pasando de 37 sismos registrados en abril, a 12 eventos en mayo de 2026 (Figura 13a, Tabla 4), todos ellos asociados con fractura de roca (tipo VT). De igual forma, la

energía sísmica liberada disminuyó en un 91,1% su valor respecto al mes inmediatamente anterior, pasando de  $1,1 \times 10^{12}$  ergios a  $9,9 \times 10^{10}$  ergios (Tabla 4, Figura 13 b y c). La mayoría de los eventos presentaron magnitud local por debajo de 1 (Figura 13d).

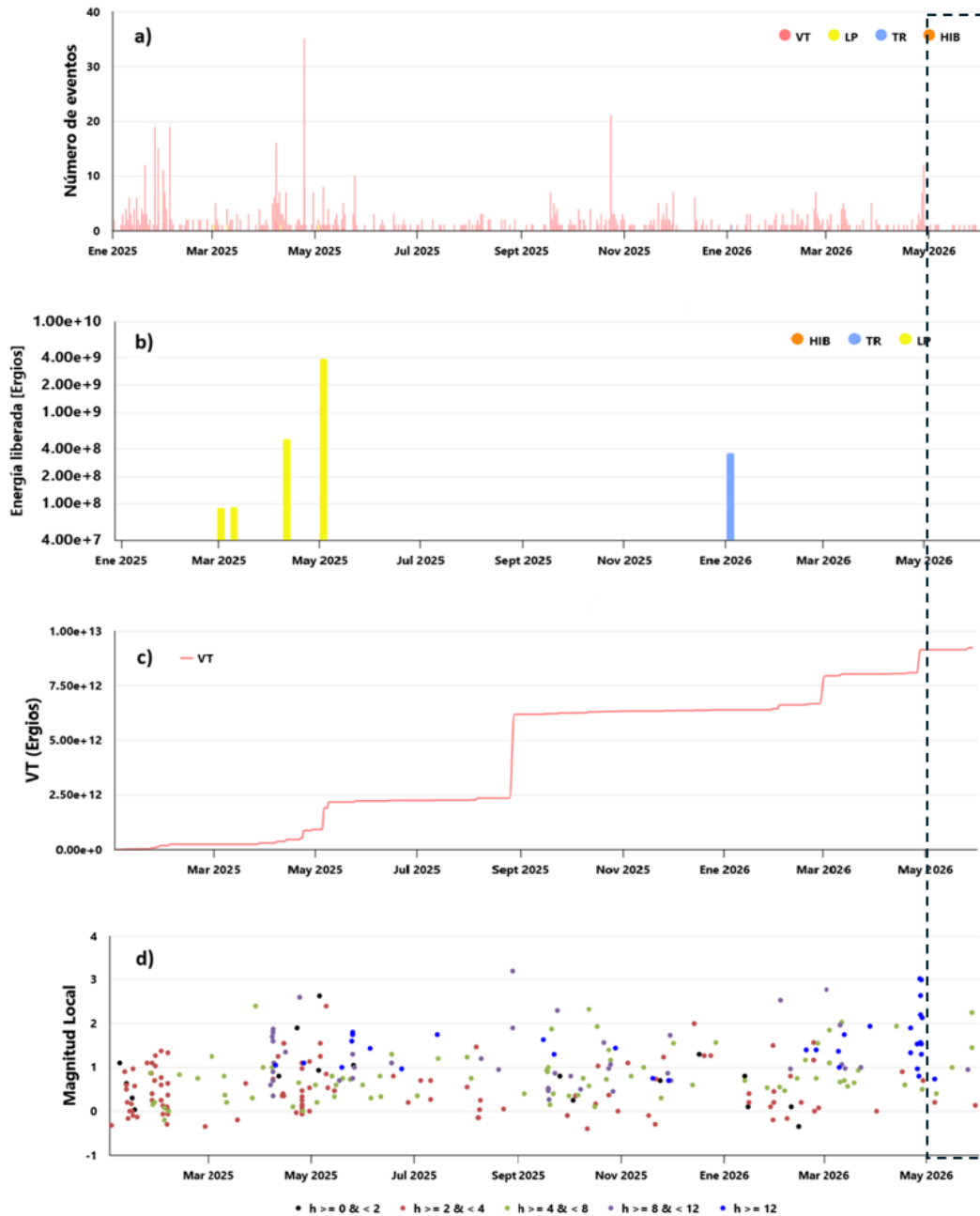
Se localizaron 7 sismos de fractura en su mayoría de bajo nivel energético, ubicados de manera dispersa alrededor del edificio volcánico, con profundidades entre 2,3 y 13,5 km respecto a la cima (4000 m s.n.m.) (Figura 13d), distancias epicentrales fluctuantes entre 0,2 y 12,8 km respecto a la laguna cratéica y magnitudes inferiores a 2,2 (Figura 13d y Figura 14). El evento más energético ocurrió el 27 de mayo a las 8:46 p.m. y se localizó a 12,8 km hacia el nororiente de la laguna cratéica y profundidad de 7,6 km respecto a la cima.

La deformación del volcán Azufral, monitoreada a partir de estaciones cGNSS e inclinómetros electrónicos continúan indicando estabilidad en sus componentes. Como ejemplo, se presentan las series temporales de las componentes Norte, Este y Vertical del cGNSS Roca, e inclinómetro electrónico La Roca las cuales muestran estabilidad (Figura 15).

Por su parte, la temperatura en el domo Mallama se mantuvo estable, con oscilación para el periodo evaluado entre los 83,3 y 83,8 °C (Figura).



# Boletín mensual

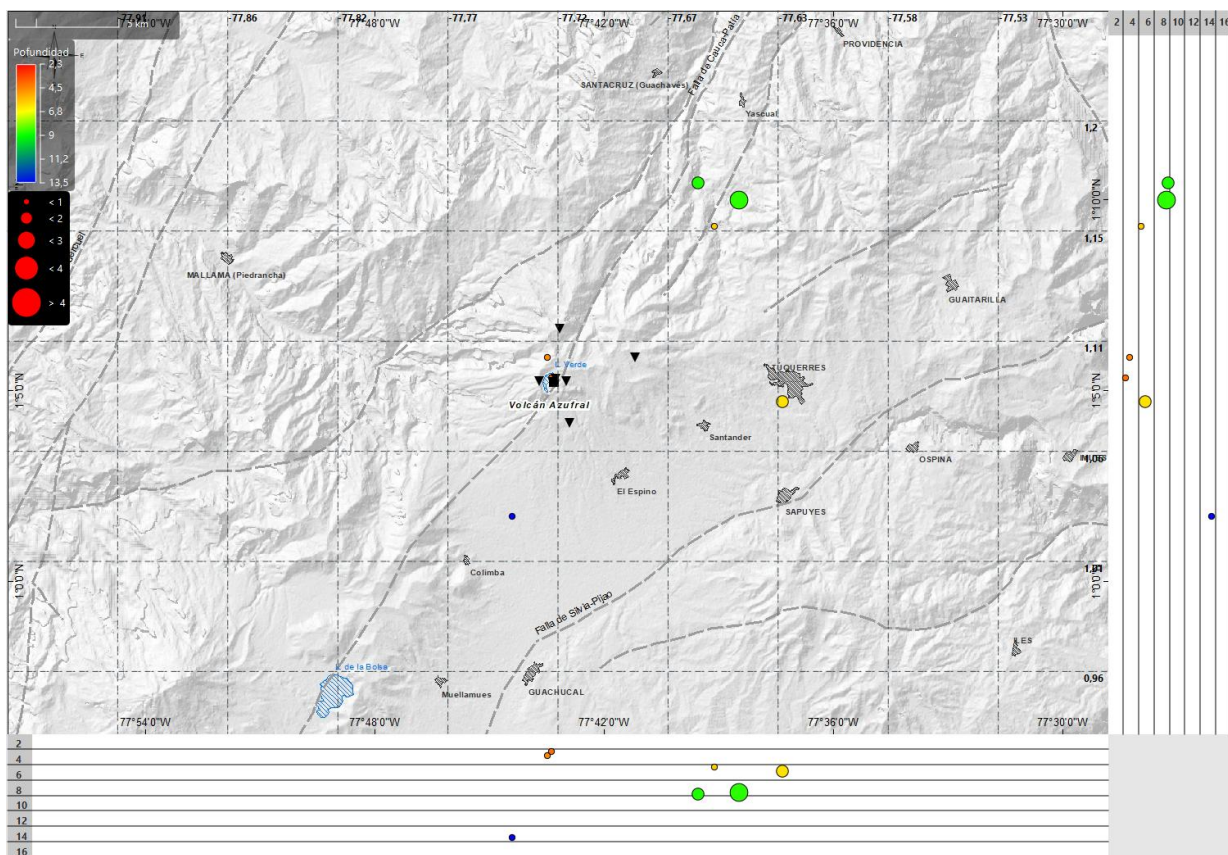


**Figura 13.** Gráfica multiparamétrica del volcán Azufral, a) histograma diario de ocurrencia sísmica b) energía liberada para sismos, LP, TR e HIB c) energía liberada acumulada para sismos VT d) relación entre la magnitud local y la profundidad, en el tiempo, para el periodo entre enero de 2025 y mayo de 2026. El recuadro negro punteado indica el mes evaluado.

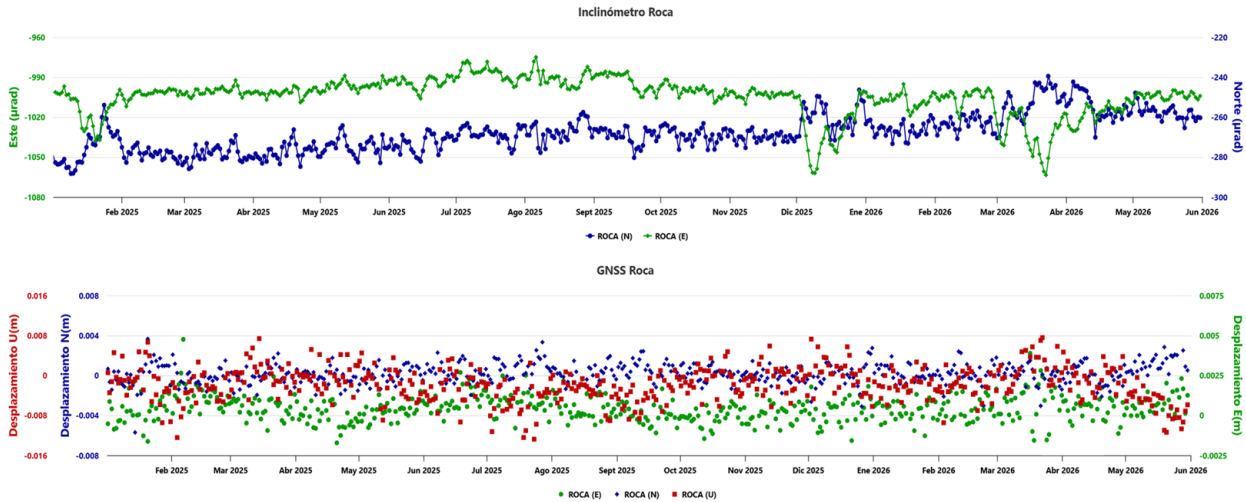


**Tabla 4.** Número de eventos en el volcán Azufral, para los meses de abril y mayo de 2026.

Tipo de evento	Abril 2026		Mayo 2026	
	No. Sismos	Energía Sísmica Liberada	No. Sismos	Energía Sísmica Liberada
VT	36	$1,1 \times 10^{12}$	12	$9,9 \times 10^{10}$
VC	1	$1,1 \times 10^8$	0	-
<b>Total</b>	<b>37</b>	<b><math>1,1 \times 10^{12}</math></b>	<b>12</b>	<b><math>9,9 \times 10^{10}</math></b>



**Figura 14.** Mapa de la zona de influencia del volcán Azufral, representando en círculos los sismos VT localizados en mayo de 2026 (planta y perfiles norte-sur y este oeste).



**Figura 15.** Series temporales del Inclínómetro electrónico La Roca componentes Norte y Este (superior) y cGNSS La Roca, componentes Norte (azul), Este (verde) y Vertical (rojo), b), para el periodo entre enero de 2025 a mayo de 2026.



**Figura 16.** Comportamiento temporal de la temperatura del suelo en el sector del domo Mallama, volcán Azufral, en el periodo entre enero de 2025 a mayo de 2026.

Las cámaras de monitoreo permitieron tener el registro de emisiones de gases provenientes principalmente de los campos fumarólicos del Domo Mallama. En general, las columnas de gas fueron de color blanco, baja altura y poca presión de salida (Figura 15.).



**Figura 15.** Registros de emisiones de gas en mayo de 2026, mayo 5 (superior) y mayo 14 (inferior) desde los diferentes focos de emisión ubicados en el Domo Mallama.

De acuerdo con lo anterior, la actividad volcánica en Azufral mantuvo un comportamiento estable en los diferentes parámetros de monitoreo.

La actividad volcánica se mantiene en estado de alerta **Verde** ●: **volcán activo en reposo.**



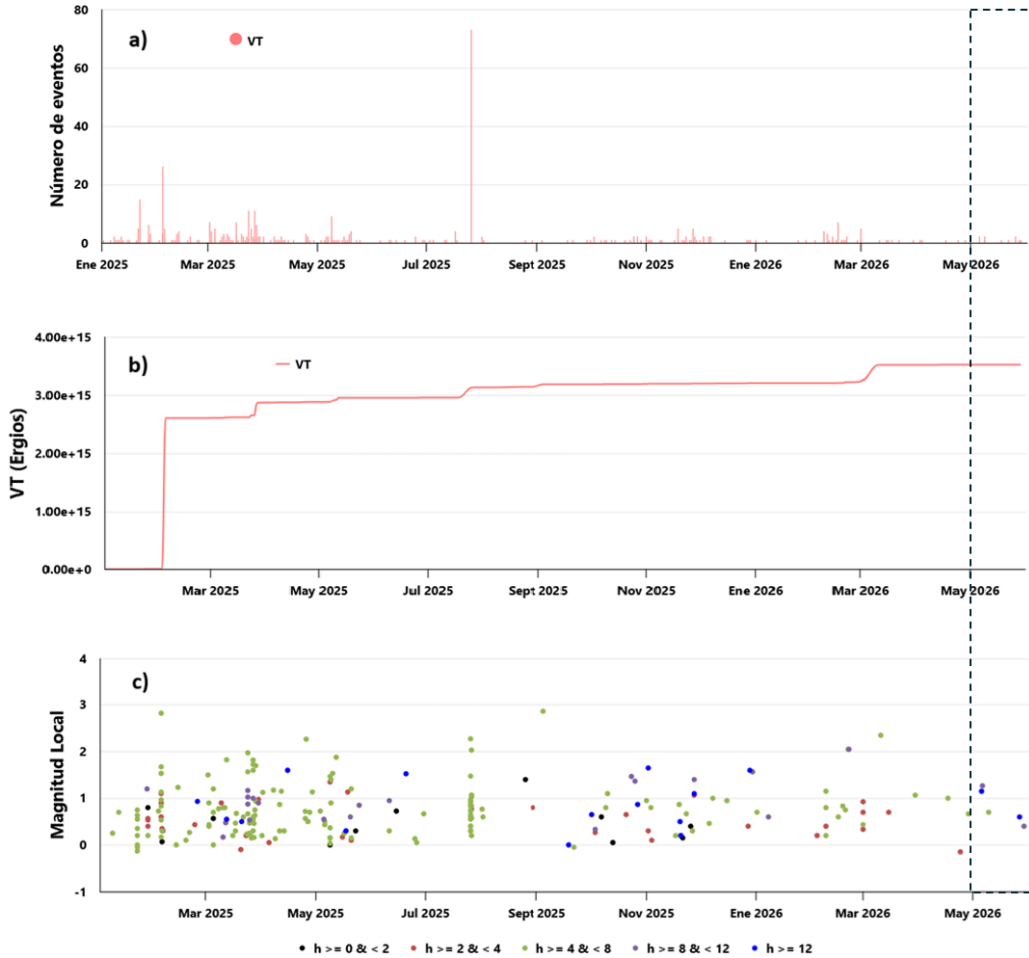
# Boletín mensual

## Volcanes Doña Juana y Las Ánimas



Los volcanes Doña Juana y Las Ánimas presentaron niveles bajos de ocurrencia y energía sísmica liberada (Tabla 5, Figura 18a). Para mayo de 2026 se registraron 10 eventos, todos ellos asociados con procesos de fracturamiento de roca, evidenciando un incremento del 100% con respecto al mes anterior. Estos eventos liberaron una energía de  $1,4 \times 10^{12}$  ergios, valor de energía que disminuyó en un 59,6% en comparación a lo reportado en el mes de abril de 2026 (Tabla 5).

Se localizaron tres de los sismos registrados, que se ubicaron de manera dispersa en la zona de influencia de los dos volcanes, a profundidades entre los 7,2 y 15,2 km respecto de la cima del volcán Las Ánimas (aproximadamente 4.200 m s.n.m); la magnitud máxima fue de 1,3 (Figura 16c y Figura 17), evento registrado el 6 de mayo ubicado al noreste del volcán Las Ánimas y profundidad de 10,6 km respecto a la cima de este volcán.



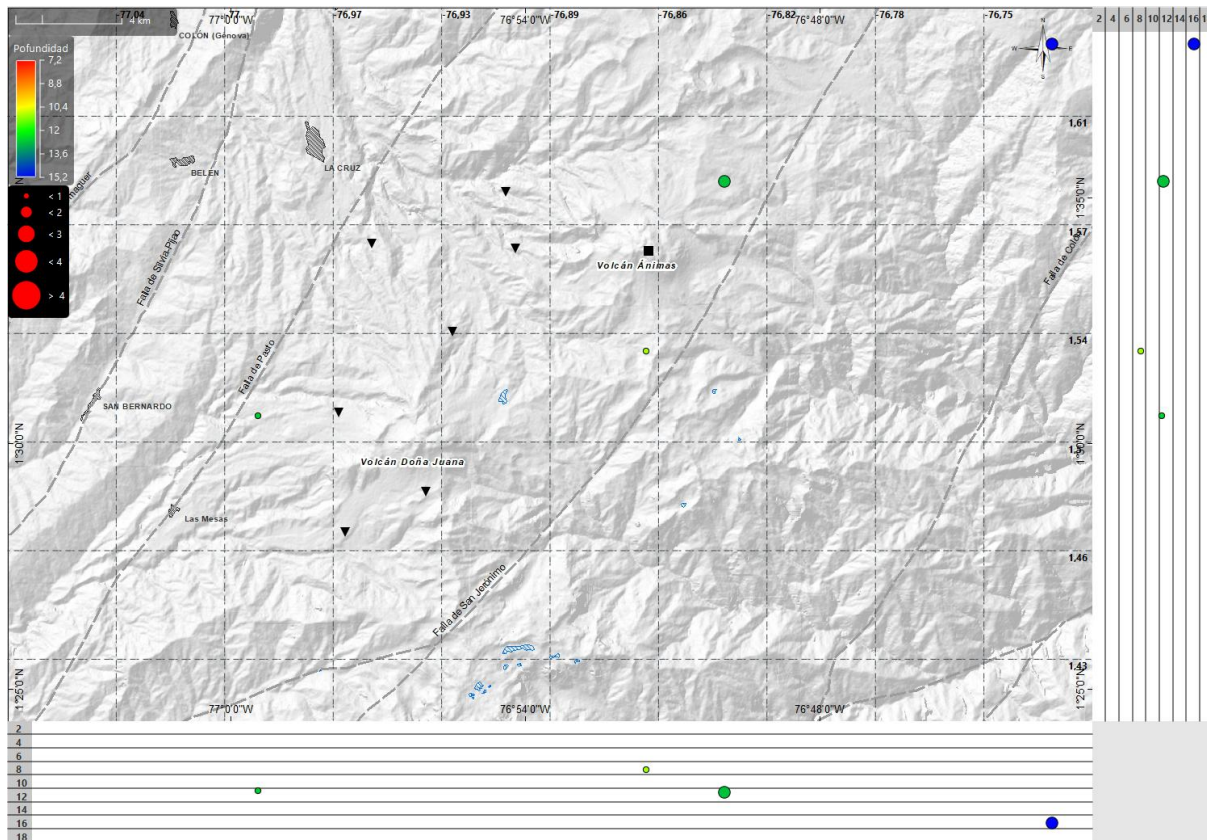
**Figura 16.** Gráfica multiparamétrica de los volcanes Las Ánimas y Doña Juana, a) histograma diario de ocurrencia sísmica b) energía liberada acumulada para sismos VT c) relación entre la magnitud local y la profundidad, en el tiempo, para el periodo entre enero de 2025 y mayo de 2026. El recuadro negro punteado indica el mes evaluado.

**Tabla 5.** Número de eventos sísmicos y energía liberada en la zona de los volcanes Las Ánimas y Doña Juana, en abril y mayo de 2026.

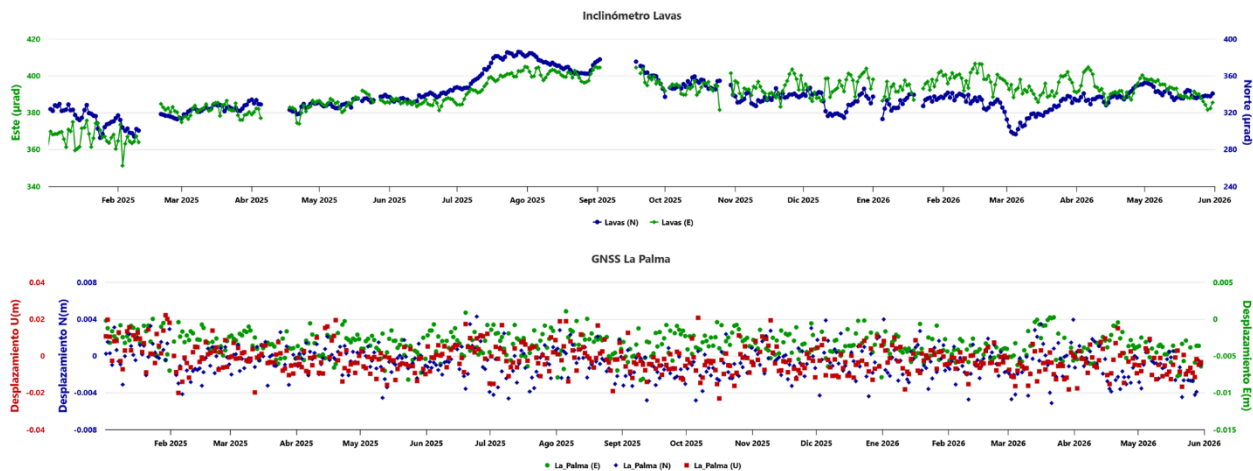
Tipo de evento	Abril 2026		Mayo 2026	
	No. Sismos	Energía Sísmica Liberada	No. Sismos	Energía Sísmica Liberada
VT	5	$3,4 \times 10^{12}$	10	$1,4 \times 10^{12}$



La evolución temporal de los sensores usados en la medición de los parámetros de deformación volcánica mostró estabilidad en sus tendencias. Se tomó como ejemplo las series temporales de las componentes Norte, Este y Vertical del GNSS La Palma y de las componentes Norte y Este del Inclinómetro electrónico de Lavas (Figura 20).



**Figura 17.** Mapa de la zona de influencia de los volcanes Las Ánimas – Doña Juana, representando en círculos los sismos VT localizados en mayo de 2026 (planta y perfiles norte-sur y este oeste).



**Figura 18.** Series temporales del Inclinómetro electrónico Lavas (superior), componentes Norte (azul) y Este (verde) y componentes Norte (azul), Este (verde) y Vertical (rojo) del cGNSS La Palma; ubicados en la zona de los volcanes Las Ánimas – Doña Juana, en el periodo entre enero de 2025 a mayo de 2026.

Los demás parámetros geofísicos y geoquímicos muestran estabilidad durante el mes evaluado.

De acuerdo con lo anterior, se mantuvo un comportamiento estable en los parámetros de monitoreo volcánico.

La actividad volcánica se mantiene en estado de alerta **Verde** ●: **volcán activo en reposo.**

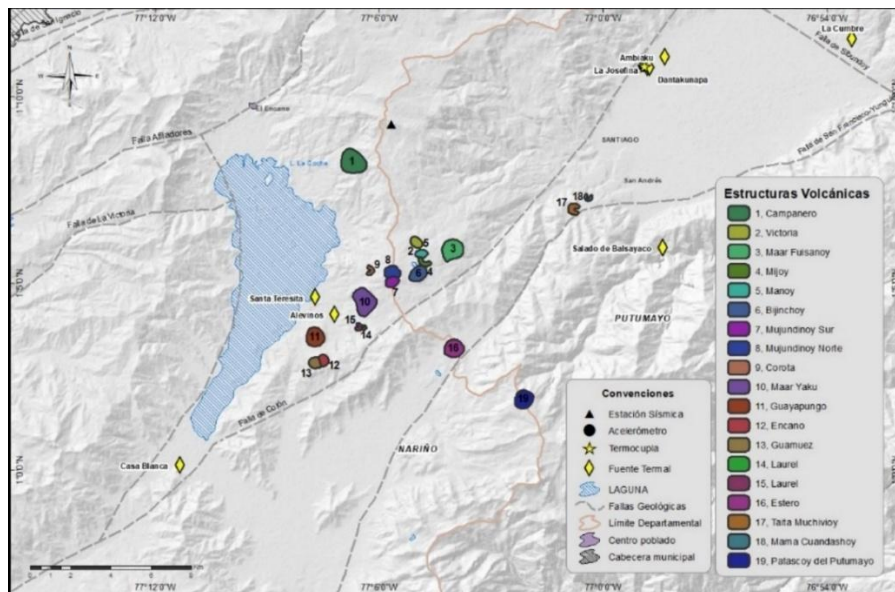


## Campo volcánico monogenético Guamuez – Sibundoy (Putumayo) (CVMGS)



El CVMGS está conformado por varias estructuras volcánicas localizadas en el margen oriental de la Laguna de la Cocha. En la Figura 21 se muestra un mapa con las

estructuras volcánicas, fallas geológicas, fuentes termales y la red de monitoreo del CVMGS.



**Figura 21.** Mapa del área del CVMGS con la ubicación de las estaciones que conforman la red de monitoreo en sismología, geofísica y fuentes termales; y las geoformas asociadas con los volcanes monogenéticos identificados hasta el momento.

Algunos de los volcanes que conforman el CVMGS son: Campanero, Victoria, Manoy, Mijoy, Bijnchoy, Fuisanoy, Mujundinoy, Corota, Yaku, Guayapungo, Encano, Guamuez, Laurel y Santa Teresita. Investigaciones recientes revelan que el sistema de fallas Algeciras influye



# Boletín mensual

significativamente en la distribución y alineación de estos volcanes, lo que sugiere que este sistema de fallas regula el ascenso del magma hacia la superficie. El sistema de fallas de Algeciras se caracteriza por un desplazamiento dextral predominante con orientación SW-NE. Este sistema incluye las fallas de Afiladores, San Francisco, Yungullo, Pitalito y Algeciras (Rivera Lara, 2021).

La sismicidad posterior al incremento relevante en la zona del Complejo Volcánico Monogénico Guamuez -Sibundoy, entre agosto y septiembre de 2024, ha mantenido niveles bajos, tanto en ocurrencia como en energía sísmica liberada y se ha caracterizado por la ocurrencia de eventos asociados a procesos de fractura (VT).

En mayo de 2026, se registraron siete eventos tipo VT (Figura 19a, Tabla 6), que liberaron una energía sísmica de  $1,7 \times 10^{11}$  ergios (Figura 19b, Tabla 6). En comparación con el mes anterior se tiene un incremento en la ocurrencia sísmica del 75% y un descenso en la en la energía liberada del 34,9% (**¡Error! No se encuentra el origen de la referencia.**).

El evento localizado se ubicó a 12,6 km al oriente de la laguna de la Cocha, a una profundidad de 0,1 km (considerando el nivel de referencia a los 2.700 m s.n.m) y magnitud de 1,5 (Figura 20).

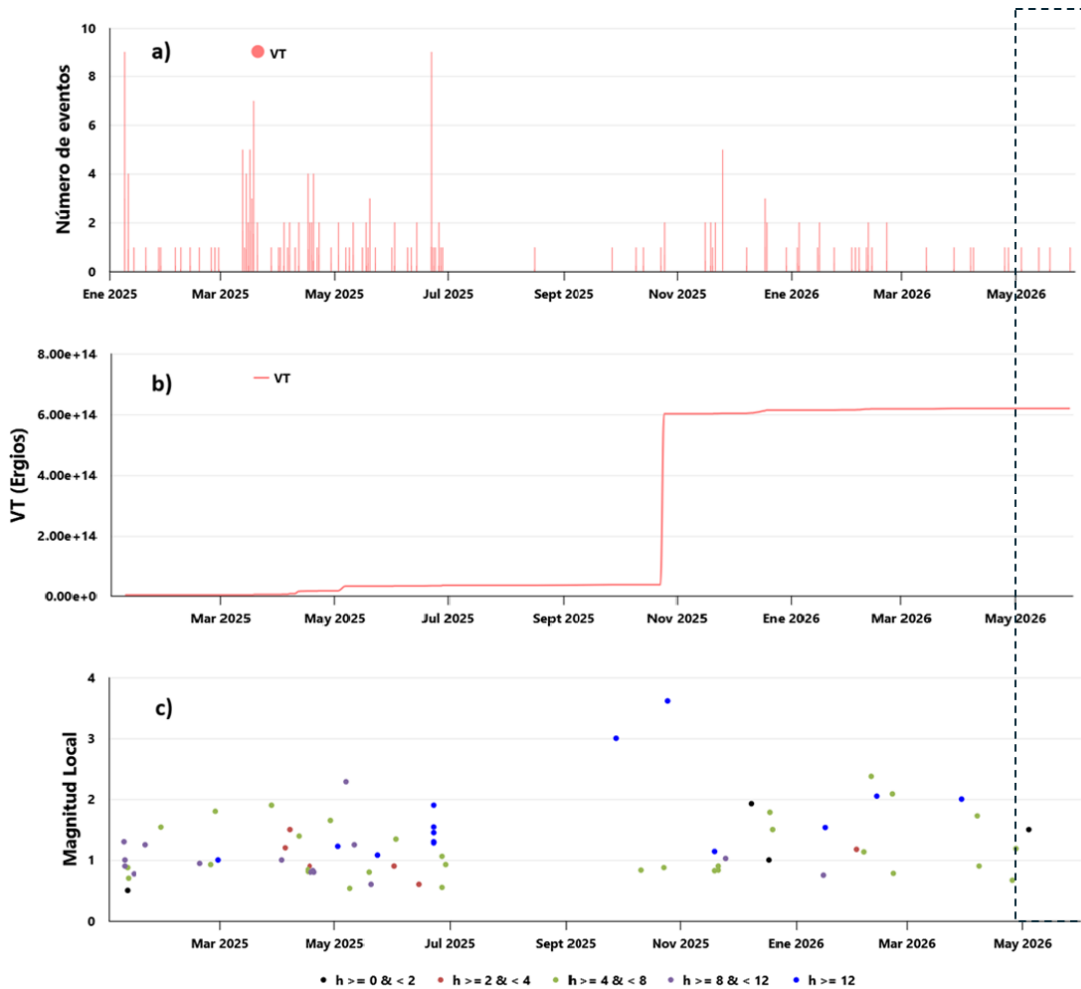
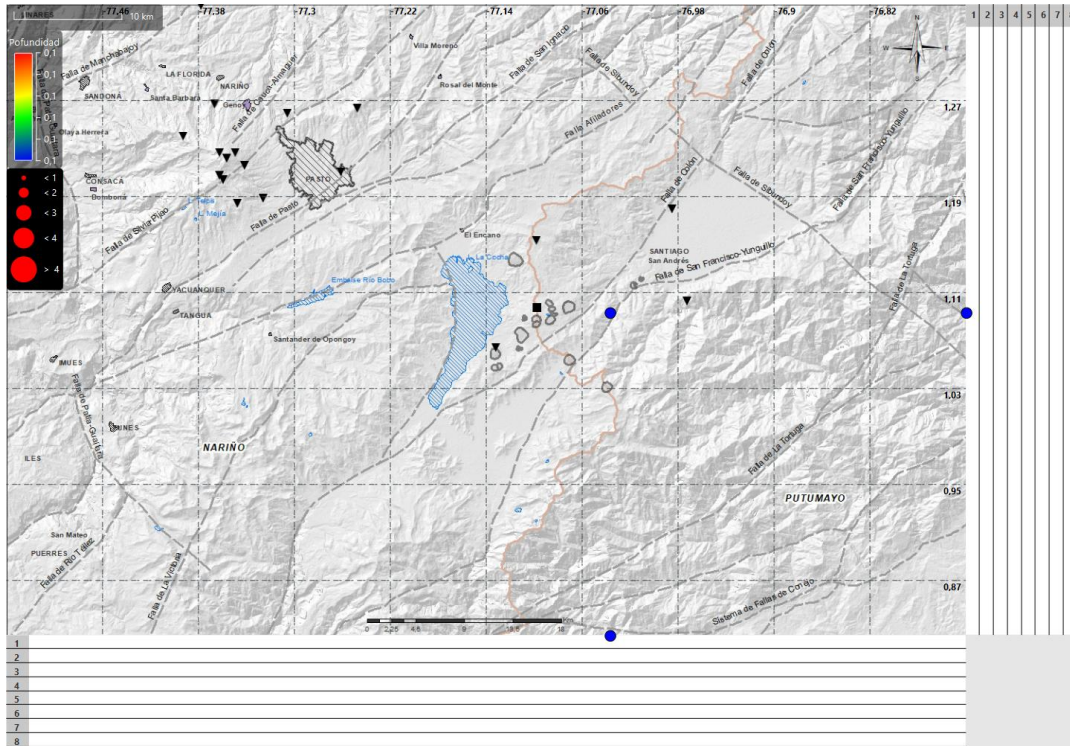


Figura 19. Gráfica multiparamétrica de la sismicidad en la zona del CVMGS, entre el enero de 2025 y mayo de 2026. El recuadro negro punteado indica el mes evaluado.

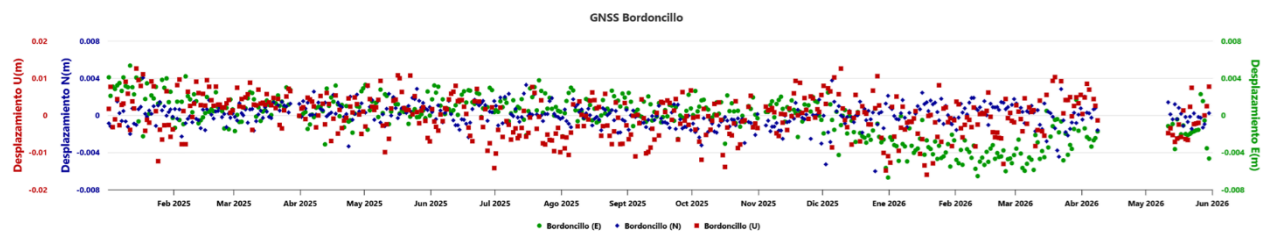
Tabla 6. Número de sismos VT en el CVMGS, de abril y mayo de 2026.

Tipo de evento	Abril 2026		Mayo 2026	
	No. Sismos	Energía Sísmica Liberada	No. Sismos	Energía Sísmica Liberada
VT	4	$2,7 \times 10^{11}$	4	$1,0 \times 10^{11}$
VC	0	-	3	$7,4 \times 10^{10}$
<b>Total</b>	<b>4</b>	<b><math>2,7 \times 10^{11}</math></b>	<b>7</b>	<b><math>1,7 \times 10^{11}</math></b>



**Figura 20.** Localización de hipocentros (planta y perfiles EW y NS), del evento registrado en la zona del CVMGS, durante el mes de mayo de 2026.

La evaluación de las series temporales de los sensores de medición de los parámetros de deformación volcánica mostró estabilidad en sus tendencias, en la zona del CVMGS. Se tomó como ejemplo las series temporales de las componentes Norte, Este y Vertical del GNSS Bordoncillo (Figura 24).



**Figura 21.** Series temporales del GNSS Bordoncillo, las componentes Norte (azul), Este (verde) y Vertical (rojo) en el periodo entre enero de 2025 a mayo de 2026.




# Boletín mensual

El monitoreo de la temperatura en el suelo cercano a la fuente termal de la reserva DantaKunapa, registró valores estables entre los 33,7 a 34,1 °C (Figura 22.).



**Figura 22.** Comportamiento de la termocupla en la fuente termal el Salado de Balsayaco, entre el 2025 y mayo de 2026.

Con base en la evaluación de los diferentes parámetros de monitoreo del CVMGS, podemos decir que:

La actividad volcánica se mantuvo en estado de alerta **Verde** : **volcán activo en reposo.**

El Servicio Geológico Colombiano realiza el monitoreo permanente de la actividad volcánica en el país y continuará informando de manera oportuna los cambios observados. Si quiere conocer más información, [visite este enlace](#).

Para más detalles sobre el esquema de clasificación de los estados de alerta, puede hacer [clic aquí](#).